

© 1992

## ЛЮМИНЕСЦЕНЦИЯ ИОНОВ ХРОМА В МОНОКРИСТАЛЛАХ ПОЛУПРОВОДНИКОВОЙ ШПИНЕЛИ CdIn<sub>2</sub>S<sub>4</sub> : Cr

*О. В. Куликова, Л. Л. Кулюк, С. М. Попов, Э. Е. Струмбан,  
В. Э. Тээлэван, Ж. Бове, Е. Фортен*

Исследована фотoluminesценция (ФЛ) монокристаллов CdIn<sub>2</sub>S<sub>4</sub> : Cr при резонансном возбуждении парамагнитной примеси. Обнаружено широкополосное излучение ионов Cr<sup>3+</sup>, обусловленное электрон-фоновыми переходами  ${}^4T_{2g} \rightarrow {}^4A_{2g}$ . На основе анализа температурных зависимостей стационарной и разрешенной во времени ФЛ установлен неоднородный характер уширения обнаруженной полосы. Результаты интерпретированы с учетом существования неэквивалентных октаэдрических узлов, занятых примесью хрома в частично обращенной шпинельной структуре матрицы. Для ионов Cr<sup>3+</sup>, расположенных в идеальных октаузлах, определены энергетический зазор между возбужденными  ${}^4E_g$  и  ${}^4T_{2g}$  состояниями  $\Delta_{ET} = \varepsilon_T - \varepsilon_E = 540 \text{ см}^{-1}$ , их времена жизни  $\tau_E = 8 \cdot 10^{-5} \text{ с}$ ,  $\tau_T = 7 \cdot 10^{-7} \text{ с}$ , а также построена конфигурационная диаграмма.

Люминесценция монокристаллов CdIn<sub>2</sub>S<sub>4</sub> : Cr представляет интерес как с точки зрения спектроскопических внутрицентровых переходов ионов хрома в октаэдрической координации серы, так и с точки зрения изучения влияния собственных дефектов полупроводника на характеристики излучения парамагнитной примеси. Природа этих дефектов, связанная, в частности, с частичной обращенностью шпинельной структуры CdIn<sub>2</sub>S<sub>4</sub> [1], может предопределять положение парамагнитных ионов в решетке матрицы и, следовательно, их энергетический спектр.

В соответствии с данными ЭПР ионы хрома в CdIn<sub>2</sub>S<sub>4</sub> : Cr замещают индий в октаэдрических узлах решетки в трехвалентном состоянии Cr<sup>3+</sup> [2]. Полосы, наблюдавшиеся в спектрах поглощения [3, 4] и фотопроводимости [5] на частотах 14 900 и 18 500 см<sup>-1</sup>, были приписаны внутрицентровым электронным переходам  ${}^4A_{2g} \rightarrow {}^4T_{2g}$  и  ${}^4A_{2g} \rightarrow {}^4T_{1g}$  соответственно. Примесная люминесценция хрома в монокристаллах CdIn<sub>2</sub>S<sub>4</sub> : Cr проявляется в виде относительно узкой спектральной полосы с явно выраженной структурой ( $R$ -компонент спектра), насчитывающей при температуре жидкого азота до 24 пиков в области 12 500–13 000 см<sup>-1</sup> [4–6]. Эта полоса была связана с переходом  ${}^2E_g \rightarrow {}^4A_{2g}$  (бесфононная линия) и вибронными спутниками, формирующими ее тонкую структуру. Максимумы спектра возбуждения люминесценции  $R$ -полосы, совпадающие с максимумами поглощения, также были приписаны фотопереходам  ${}^4A_{2g} \rightarrow {}^4T_{2g}$  и  ${}^4A_{2g} \rightarrow {}^4T_{1g}$  [6].

В настоящей работе приводятся результаты исследования температурных и временных характеристик как  $R$ -компонент люминесценции, так и ранее не наблюдавшегося широкополосного излучения ионов хрома в кристаллах CdIn<sub>2</sub>S<sub>4</sub> : Cr.

### 1. Образцы и техника эксперимента

Исследовались монокристаллы тетрасульфид динндия—кадмия, легированные хромом, выращенные методом газотранспортных реакций. Соединение CdIn<sub>2(1-x)</sub>Cr<sub>2x</sub>S<sub>4</sub> предварительно синтезировалось из исходных компонентов (концентрация хрома  $x$  в образцах определялась загрузкой;  $x = 0.001 \div 0.1$ ). Монокристаллы получали методом выращивания из расплава в вакууме.

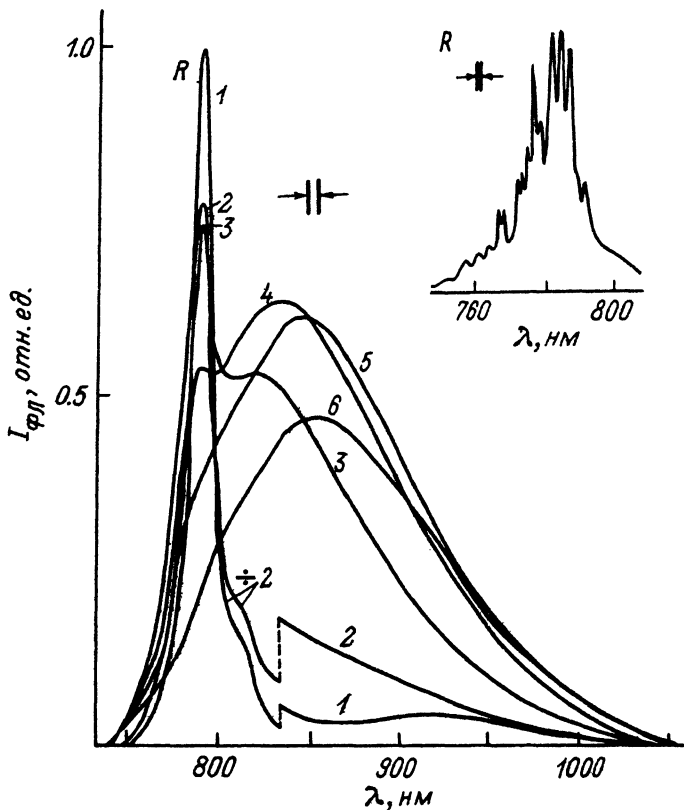


Рис. 1. Спектры ФЛ монокристалла  $\text{CdIn}_{1.98}\text{Cr}_{0.02}\text{S}_4$  при возбуждении  $\lambda_B = 647.1$  нм и различных температурах.

1 — 85, 2 — 110, 3 — 150, 4 — 190, 5 — 230, 6 — 280 К. На вставке — структура R полосы излучения.

нокристаллы имели форму октаэдров с зеркальными гранями роста и размерами ребра 4–8 мм.

Стационарная фотолюминесценция (ФЛ) монокристаллов  $\text{CdIn}_2\text{S}_4 : \text{Cr}$  возбуждалась излучением криптонового ( $\lambda = 647$  нм) и гелий-неонового ( $\lambda = 633$  нм) лазеров в область коротковолнового крыла полосы поглощения, обусловленного оптическими переходами ионов хрома  ${}^4A_{2g} \rightarrow {}^4T_{2g}$ .

Временные характеристики ФЛ также исследовались при резонансном возбуждении перехода  ${}^4A_{2g} \rightarrow {}^4T_{2g}$  излучением 1-й стоксовой компоненты вынужденного комбинационного рассеяния (ВКР) в сжатом водороде при накачке второй гармоникой лазера на АИГ :  $\text{Nd}^{3+}$  ( $\lambda = 683$  нм). Кроме того, использовался лазер на красителе. В обоих случаях длительность импульса возбуждения составляла  $\approx 10^{-8}$  с.

Регистрация исследуемого излучения осуществлялась фотоэлектронным умножителем ФЭУ-62 и фотодиодом ФД-7. Временные характеристики ФЛ изменились бокскар-интегратором ВСИ-280.

## 2. Экспериментальные результаты

Спектры ФЛ образцов  $\text{CdIn}_{2(1-x)}\text{Cr}_x\text{S}_4$ , измеренные при резонансном возбуждении перехода  ${}^4A_{2g} \rightarrow {}^4T_{2g}$  в области температур  $T < 60$  К, состоят (рис. 1) из

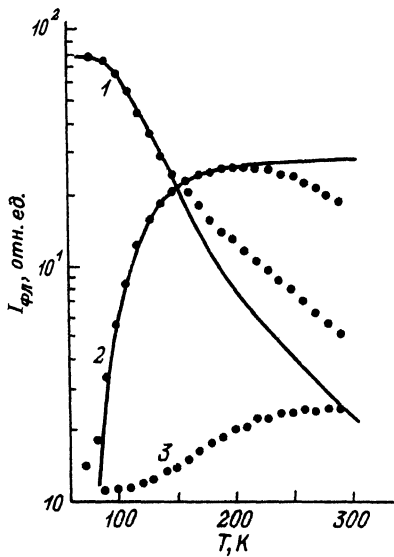


Рис. 2. Температурные зависимости интенсивности излучения на длинах волн  $R$  и  $U$  компонент.  
1 —  $\lambda = 790$ , 2 — 840, 3 — 1050 нм (точки). Сплошные линии — расчетные зависимости  $R(T)$  (кривая 1) и  $U(T)$  (кривая 2).

$1 - \lambda = 790$ , 2 — 840, 3 — 1050 нм (точки). Сплошные линии — расчетные зависимости  $R(T)$  (кривая 1) и  $U(T)$  (кривая 2).

двух основных компонент: полосы  $R$  с максимумом при  $\lambda_R = 790$  нм, контур которой формируется суперпозицией фононных повторений перехода  ${}^2E_g \rightarrow {}^4A_{2g}$  (вставка на рис. 1), и бесструктурной колоколообразной полосы  $U$  ( $\lambda_U^{\max} \approx 950$  нм). Соотношение интенсивностей этих полос зависит от температуры и содержания хрома в образце. При  $x < 0.01$  и  $T = 90$  К амплитуды  $R$ - и  $U$ -компонент отличаются более чем на порядок в пользу первой. С ростом концентрации хрома, начиная с  $x > 0.01$ , вклад  $U$ -полосы в интегральный спектр возрастает, и при  $x \approx 0.05 \div 0.1$  амплитуды компонент соизмеримы.

В случае минимальных концентраций хрома ( $x \approx 0.001$ ) в спектрах примесной ФЛ наряду с  $R$ - и  $U$ -полосами просматривается длинноволновая спектральная компонента, обусловленная собственными дефектами нелегированного  $\text{CdIn}_2\text{S}_4$  [7, 8]. Однако уже для  $x \approx 0.005$  признаки «собственной» люминесценции матрицы подавляются значительно более ярким внутрицентровым излучением хрома. По интегральной интенсивности люминесценции монокристаллы  $\text{CdIn}_{2(1-x)}\text{Cr}_x\text{S}_4$  ( $x = 0.01 \div 0.05$ ) превосходят при комнатной температуре нелегированные образцы ( $x = 0$ ) более чем на два порядка.

На рис. 2 приведены температурные зависимости интенсивностей  $R$  и  $U$  спектральных компонент, измеренные на трех фиксированных длинах волн и

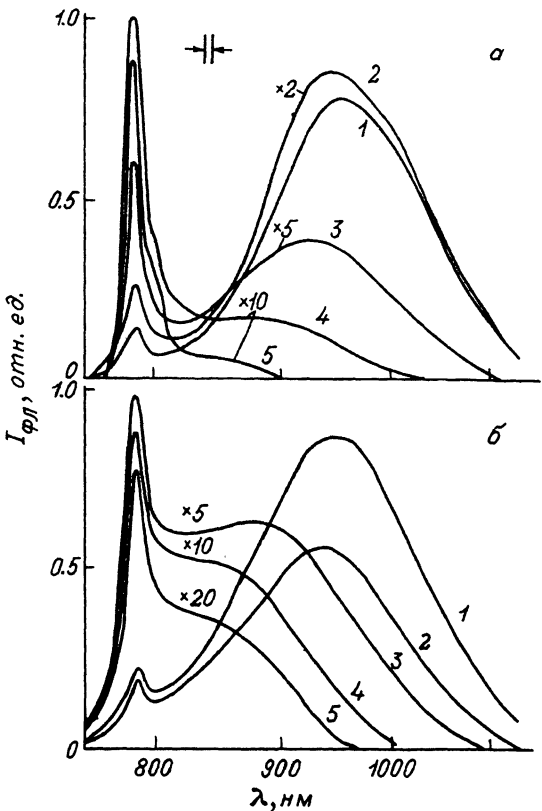
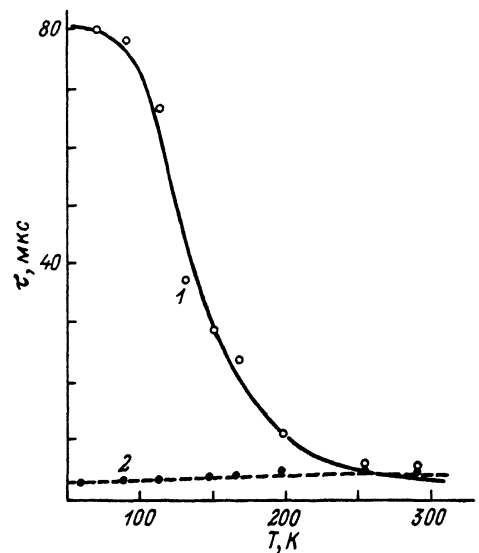


Рис. 3. Разрешенные во времени спектры ФЛ ( $\lambda_B = 683$  нм) монокристалла  $\text{CdIn}_{1.98}\text{Cr}_{0.02}\text{S}_4$  при  $T = 93$  (а) и  $130$  К (б) при задержках  $\Delta t$ : 1 — 0, 2 — 1.5, 3 — 8, 4 — 20, 5 — 75 мкс.

Рис. 4. Температурные зависимости постоянной времени спада ФЛ при  $\lambda_1 = 790$  (1) и  $\lambda_2 = 1050$  нм (2).

Сплошная линия — результаты расчета зависимости  $\tau_R(T)$ , проведенного для  $R$  и  $U^{(a)}$  компонент излучения; штрих —  $U^{(b)}$  компонента.



Рост интенсивности излучения при  $\lambda = 840$  нм более чем на порядок при изменении температуры кристалла от 80 до 250 К представляет особый интерес, поскольку аналогичные температурные зависимости наблюдались при люминесценции трехвалентных ионов хрома в таких лазерных материалах, как рубин, изумруд [7–9] и александрит [10, 11].

Разрешенные во времени спектры люминесценции  $CdIn_{1.98}Cr_{0.02}S_4$  при температурах 93, 130 К и  $\lambda_B = 683$  нм приведены на рис. 3. В момент возбуждающего импульса (задержка во времени  $\Delta t = 0$ ) по интенсивности  $R$ -компонента значительно уступает длинноволновой  $U$ -полосе, хотя в спектрах стационарной ФЛ при этой температуре наблюдается обратное соотношение. С увеличением задержки  $\Delta t$   $R$ -компонента становится доминирующей, и начиная с  $\Delta t > 50$  мкс ( $T \approx 90$  К,  $x < 0.01$ ) форма спектра остается неизменной во времени. При этом она определяется не только вибронной структурой  $R$ -компоненты, но и прилегающей к ней с длинноволновой стороны сравнительно широкой полосой  $U^{(a)}$  с максимумом при  $\lambda = 840$  нм ( $\nu_U(a) \approx 11800$  см<sup>-1</sup>). С повышением температуры до 130 К задержка, начиная с которой форма спектра становится неизменной во времени, сокращается до  $\approx 20$  мкс, при этом возрастает и относительный вклад  $U^{(a)}$ -полосы.

Сравнивая форму спектров люминесценции, разрешенных во времени, при  $\Delta T > 10$  мкс, нетрудно видеть, что максимум долгоживущей полосы  $U^{(a)}$  ( $T = 90$  К) приходится на коротковолновое плечо стационарной  $U$ -компоненты, наиболее быстро поднимающееся с ростом температуры (рис. 1). Обратим также внимание на то, что интенсивность длинноволновой части этой компоненты с температурой возрастает относительно слабо, а по форме совпадает с короткоживущей  $U^{(b)}$ -полосой при  $\Delta t = 0$ .

На рис. 4 представлены температурные зависимости постоянной времени спада ФЛ  $\tau$  ( $T$ ), измеренные при  $\lambda_1 = 790$  нм (максимум  $R$ -полосы) и  $\lambda_2 = 1050$  нм (длинноволновое крыло  $U^{(b)}$ -полосы, где влияние  $U^{(a)}$ -компоненты спектра минимально). Постоянная времени для  $R$ -компонента спектра  $\tau_R$  при  $T > 100$  К резко убывает с ростом температуры, в то время как  $\tau_U(b)$ , характеризующее  $U^{(b)}$ -компоненту, слабо возрастает.

медленной развертке температуры образцов. Скорость температурного возгорания длинноволнового крыла  $U$ -полосы с температурой по сравнению с коротковолновым происходит медленнее, что свидетельствует о неоднородном характере ее уширения. Т. е. широкая  $U$ -полоса состоит по крайней мере из двух компонент — полосы  $U^{(a)}$  ( $\lambda_U(a) \approx 830$ —850 нм), дающей основной вклад в температурное возгорание, и  $U^{(b)}$  полосы ( $\lambda_U(b) \approx 950$  нм), определяющей положение максимума и форму длинноволновой части спектра при низких температурах.

Отметим также, что температурные зависимости  $\tau_R(T)$  и  $\tau_U^{(a)}(T)$  идентичны.

### 3. Интерпретация

$R$  и  $U^{(a)}$  спектральные компоненты люминесценции. Расположение  $U$ -полос поглощения и излучения по отношению к  $R$ -компоненте, соотношение их полуширин и соответствующие температурные зависимости интенсивности ФЛ указывают на то, что если  $R$ -излучение обусловлено переходами  ${}^2E_g \rightarrow {}^4A_{2g}$  [4, 5], то  $U$ -полоса — переходами  ${}^4T_{2g}$  и  ${}^4A_{2g}$ .

Для описания температурных и временных характеристик ФЛ воспользуемся кинетическими уравнениями для населенности уровней ионов хрома  ${}^2E_g \rightarrow {}^4T_{2g}$  [9]. Полагая вероятности безызлучательных переходов (БП) из возбужденных  $E$ - и  $T$ -состояний в основное  $A$  несущественными по сравнению с излучательными [8, 12], в условиях резонансного возбуждения  $U$ -полосы уравнения можно записать в виде

$$\begin{aligned} \frac{dn}{dt} &= -\gamma_E n_E + W_{TE} \left( n_T - g n_E \exp \left( -\frac{\Delta_{ET}}{kT} \right) \right), \\ \frac{dn}{dt} &= e(U) - \gamma_T n_T + W_{TE} \left( n_T - g n_E \exp \left( -\frac{\Delta_{ET}}{kT} \right) \right), \end{aligned} \quad (1)$$

где  $e(U)$  — количество фотонов, поглощаемых в единицу времени в области  $U$ -полосы;  $n_{E,T}$  — заселенность уровней  ${}^2E_g$ ,  ${}^4T_{2g}$ ;  $g = g_T/g_E$ ,  $g_{E,T}$  — кратности вырождения этих уровней;  $\gamma_E$  и  $\gamma_T$  — вероятность излучательных переходов  ${}^2E_g \rightarrow {}^4A_{2g}$  и  ${}^4T_{2g} \rightarrow {}^4A_{2g}$  соответственно;  $W_{TE}$  — вероятность БП между возбужденными  $T$ - и  $E$ -состояниями;  $\Delta_{ET}$  — расстояние между минимумами соответствующих адиабатических потенциалов.

В уравнениях (1) полагалось, что БП с вероятностями  $W_{TE}$  и  $W_{ET}$  носят активационный характер  $W_{TE} = W_0 \exp(-\Delta_T/kT)$ ,  $W_{ET} = W_0 \exp(-\Delta_E/kT)$ ,  $\Delta_E - \Delta_T = \Delta_{ET}$ , где множитель  $W_0$  зависит от частоты примесно-активных колебательных мод кристалла [9, 13].

Значениям вероятностей излучательных переходов ионов  $\text{Cr}^{3+}$  в октаэдрической координации обычно соответствуют интервалы  $\gamma_E \approx 10^2 \div 10^4$  и  $\gamma_T \approx 10^5 \div 10^7 \text{ с}^{-1}$  [8, 12]. Таким образом,  $\gamma_{E,T}$  много меньше величины  $W_0 \approx 10^{13} \div 10^{14} \text{ с}^{-1}$  [13], а при  $T > 80 \text{ К}$  и типичных значениях  $\Delta_{ET}$ , не превышающих, как правило,  $10^3 \text{ см}^{-1}$ , уверенно выполняется неравенство  $\gamma_T \ll W_{TE}$ . Тогда решение уравнений (1) для стационарного режима ( $dn_{E,T}/dt = 0$ ), описывающее температурную зависимость квантового выхода  $R$ - и  $U$ -компонент излучения, имеет вид

$$R(T) = \frac{n_E \gamma_E}{e(U)} = \left( 1 + \frac{g \gamma_T}{\gamma_E} \exp(-\Delta_{ET}/kT) \right)^{-1}, \quad (2a)$$

$$U(T) = \frac{n_T \gamma_T}{e(U)} = \left( 1 + \frac{\gamma_E}{g \gamma_T} \exp(\Delta_{ET}/kT) \right)^{-1}. \quad (2b)$$

Значения параметров  $\Delta_{ET}$  и  $g \gamma_T / \gamma_E$ , при которых расчетные зависимости  $U(T)$  и  $R(T)$  наилучшим образом описывают экспериментальные результаты (рис. 2), в этом случае равны

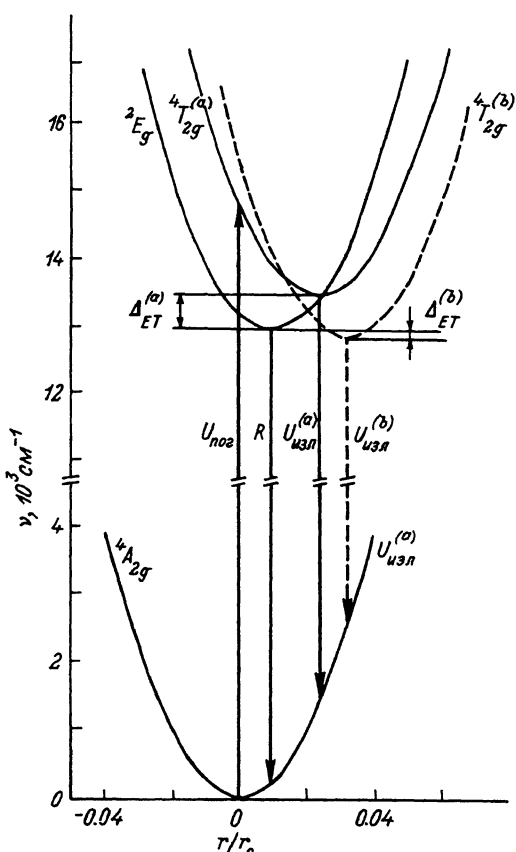
$$\Delta_{ET} \approx 520 \text{ см}^{-1}, \quad g\gamma_T/\gamma_E \approx 370.$$

Подбор параметров осуществлялся с учетом того, что наряду с рассматриваемой  $U^{(a)}$ -полосой спектр стационарного излучения содержит слабо зависящую от температуры  $U^{(b)}$ -компоненту, вклад которой максимальен при  $T < 100$  К. При относительно высоких температурах ( $T > 200$  К) помимо излучательных переходов, по-видимому, начинают играть роль БП. Кроме того, с увеличением температуры вклады коротководнового крыла  $U$ -полосы и  $R$ -компоненты спектра в измеряемый сигнал на длине волны  $\lambda_R$  становятся соизмеримыми, что также вызывает расхождение расчетной и экспериментальной кривых  $R(T)$ .

При возбуждении импульсами света с длительностью  $\vartheta$ , удовлетворяющими неравенству  $\gamma_{E,T} \ll \vartheta^{-1} \ll W_{TE}$  (что соответствует условиям эксперимента;  $\vartheta = 10^{-8}$  с), из (1) можно получить выражение для постоянной времени спада интенсивности ФЛ

$$\tau_R(T) = \gamma_E^{-1} (1 + g (\exp(-\Delta_{ET}/kT)) / \left( 1 + \frac{g\gamma_T}{g_E} \exp(-\Delta_{ET}/kT) \right)). \quad (3)$$

Из сопоставления расчетной зависимости (3) с экспериментальными данными (рис. 4) можно определить параметры  $\Delta_{ET} \approx 540 \text{ см}^{-1}$ ,  $\tau_E = \gamma_E^{-1} = 8 \cdot 10^{-5}$  с,  $\tau_T = \gamma_T^{-1} = 7 \cdot 10^{-7}$  с ( $g\gamma_T/\gamma_E \approx 350$  ( $g = 3$ )). Полученные результаты находятся в хорошем согласии с соответствующими значениями, определенными из стационарных измерений.



В заключение приведем конфигурационную диаграмму ионов  $\text{Cr}^{3+}$  в кристалле  $\text{CdIn}_2\text{S}_4 : \text{Cr}$ , построенную в рамках квазимолекулярной модели примесных центров малого радиуса [14] (рис. 5).

Согласно этой модели, примесный центр взаимодействует только с одним полносимметричным колебанием кристаллической решетки. В качестве такого колебания для  $\text{CdIn}_2\text{S}_4$  была принята мода  $A_{1g}$ , частота которой  $\Omega_0 = 366 \text{ см}^{-1}$  является наибольшей в спектрах комбинационного рассеяния 1-го порядка [15]. Учитывалось также значение чисто электронного (бесфононного) перехода  $^2E_g \rightarrow ^4A_{2g}$  ( $\nu_R^0 = 12960 \text{ см}^{-1}$  [4, 6]) и стоксового сдвига между максимумами огибающей спектра  $R$ -полосы ( $\nu_R^{\text{погл}} \approx 13200 \text{ см}^{-1}$  [16]).

Рис. 5. Конфигурационная диаграмма ионов  $\text{Cr}^{3+}$ , расположенных в идеальных октаэдрических узлах кристаллической решетки  $\text{CdIn}_2\text{S}_4$  (расстояние между центральным ионом примеси и вершинами серного октаэдра  $r_0 = 2.586 \text{ \AA}$ ).

Штрихи — адиабатический потенциал  $^4T_E^{(b)}$ , ответственный за  $U^{(b)}$  полосу излучения ( $\Delta_{ET} < 0$ ).

$U^{(b)}$ -компоненты: влияние частичной обращенности шпинельной структуры  $\text{CdIn}_2\text{S}_4$ . Преобладание быстрой компоненты свечения  $U^{(b)}$  флуоресценции над медленной  $R$  фосфоресценцией возможно в случае, когда на конфигурационной диаграмме примесного центра минимум адиабатического потенциала метастабильного состояния  ${}^2E_g$  лежит выше или близко ( $\Delta^{(b)} \ll kT$ ) к минимуму потенциала состояния  ${}^4T_{2g}$  [17, 18] (рис. 5). Тогда постоянная времени спада  $\tau_R^{(b)}$  будет определяться в основном временем жизни терма  ${}^4T_{2g} (\gamma_T^{-1})$  и слабо возрастать с температурой (см. формулу (3)), что и наблюдалось экспериментально. Кривая  $\tau (T)$  (рис. 4, штриховая линия) рассчитана при следующих параметрах:  $\Delta_{ET} \approx -100 \text{ см}^{-1}$ ,  $\tau_T^{(b)} \approx 8 \cdot 10^{-6} \text{ с}$ ,  $\tau_E^{(b)} \approx \tau_E^{(a)} \approx 8 \cdot 10^{-5} \text{ с}$ . Вариации величины  $\tau_E (b)$  слабо влияют на результаты вычислений в этом случае.

Таким образом, качественное отличие временных характеристик  $R$ - и  $U^{(a)}$ -компонент, с одной стороны, и  $U^{(b)}$ , с другой, предполагает существование неэквивалентных октаэдрических позиций ионов хрома в решетке  $\text{CdIn}_2\text{S}_4$ , обеспечивающих разное взаимоположение уровней  ${}^2E_g$  и  ${}^4T_{2g}$ .

Неэквивалентность октапозиций ионов  $\text{Cr}^{3+}$  в  $\text{CdIn}_2\text{S}_4$  может быть вызвана частичной обращенностью шпинельной структуры этого соединения [1, 19], формулу которого можно представить в виде  $\{\text{Cd}_{1-i}\text{In}_i\}^{i\alpha} \{\text{Cd}_i\text{In}_{2-i}\}^{oc} \text{S}_4$ , где  $i$  — степень обращенности шпинельной структуры, а фигурные скобки объединяют катионы, находящиеся в тетраэдрической (*tet*) или октаэдрической (*oct*) координации. Обращенность шпинельной структуры соответствует наличию позиционного разупорядочения в катионной подрешетке (дефектов типа  $\text{Cd}_{ln}$  и  $\text{In}_{cd}$ ), которое в  $\text{CdIn}_2\text{S}_4$  наступает при  $T > 130 \text{ }^\circ\text{C}$  [1]. При более низких температурах структура  $\text{CdIn}_2\text{S}_4$  близка к нормальной, т. е.  $i \ll 1$ . Согласно [19], концентрация собственных дефектов  $\text{Cd}_{ln}$  и  $\text{In}_{cd}$  в  $\text{CdIn}_2\text{S}_4$  составляет величину  $\approx 10^{19} \text{ см}^{-3}$ , что соответствует величине  $i \ll 10^{-2}$ .

Для структуры шпинели характерно сильное влияние соседей второго порядка (т. е. составляющих первую катионную координационную сферу) на тригональное расщепление кубического терма  ${}^4T_{2g}$  примесного иона с *d*-оболочкой, находящегося в октаэдрическом окружении анионов [20, 21, 22]. В нормальной шпинели ( $i = 0$ ) 1-я катионная координационная сфера октаузла, содержащего примесный центр, сформирована шестью атомами индия. При  $i \neq 0$  имеется вероятность, что один или несколько ионов  $\text{Cd}^{2+}$  заменят  $\text{In}^{3+}$  в первой катионной сфере и, очевидно, поле лигантов такого «дефектного» октаузла иона  $\text{Cr}^{3+}$  будет отличаться от «идеального». Корреляция между степенью обращенности шпинельной структуры кристалла и числом неэквивалентных октапозиций ионов  $\text{Cr}^{3+}$  с учетом ближайших двух катионных координационных сфер обстоятельно рассмотрена в [22] при обсуждении люминесценции кислородных шпинелей  $\text{MgAl}_2\text{O}_4$  и  $\text{ZnGa}_2\text{O}_4$ , легированных хромом. Согласно [22], при  $i < 0.1$  основное количество «дефектных» октаузлов включают в себя либо один трехвалентный катион во второй координационной сфере, либо один двухвалентный в первой. При  $i \approx 10^{-2}$  концентрация «дефектных» октаузлов мала и составляет около 5% по отношению к числу «нормальных».

Поэтому, связывая  $U^{(b)}$ -компоненту со свечением «дефектных» октапозиций ионов  $\text{Cr}^{3+}$ , заметим, что наблюдение аналогичной полосы в спектрах поглощения представляется практически невозможным. В излучении же при низких температурах ( $kT \ll \Delta_{ET}^{(a)}$ ) вероятность фотопереводов  ${}^4T_{2g}^{(b)} \rightarrow {}^4A_{2g}^{(b)}$  значительно больше, чем у  ${}^4T_{2g}^{(a)} \rightarrow {}^4A_{2g}^{(a)}$ . В результате при импульсном возбуждении в начальный момент времени ( $t \ll \tau_U^{(b)}$ ) полоса  $U^{(b)}$  превосходит как  $U^{(a)}$ , так и  $R$ -компоненту спектра.

С целью прямого экспериментального подтверждения связи  $U^{(b)}$ -полосы излучения с частичной обращенностью шпинельной структуры образец CdIn<sub>1.99</sub>Cr<sub>0.01</sub>S<sub>4</sub> был подвергнут дополнительной термообработке, включающей в себя обжиг при  $T = 300$  °C с последующей закалкой. Это приводит, как показано в [23, 24], к увеличению степени обращенности. В спектрах ФЛ, измеренных после термообработки, вклад  $U^{(b)}$ -полосы относительно  $R$ -компоненты возрос более чем в 4 раза по сравнению с исходным.

В то же время почти на порядок снизилась интегральная интенсивность излучения, что, во-видимому, обусловлено уменьшением концентрации октаэдрически координированных ионов Cr<sup>3+</sup>.

Увеличение вклада  $U^{(b)}$ -полосы, наблюдаемое в спектрах ФЛ при переходе к образцам CdIn<sub>2</sub>S<sub>4</sub>:Cr с большим содержанием хрома ( $x > 0.01$ ), также вызвано образованием «дефектных» октаузлов, но теперь уже за счет включения в ближайшие катионные координационные сферы парамагнитных ионов хрома [24]. В этом случае по существу проявляется взаимодействие примесных центров [25] даже при незначительной степени обращенности ( $i \approx 0$ ).

Отметим принципиальную возможность использования соединения CdIn<sub>2</sub>S<sub>4</sub>:Cr в качестве активной среды лазера на электрон-колебательных переходах [26] подобно кристаллам александрита и изумруда. Это следует из сравнения основных спектроскопических параметров этих материалов: значений энергии зазоров  $\Delta_{ET}$ , соотношения времен жизни  $^2E$ - и  $^4T_2$ -состояний, а также эффективных сечений излучения  $\sigma_U$  [27] в максимуме  $U$ -полосы (300 K) ионов Cr<sup>3+</sup>, расположенных, с одной стороны, в идеальных октаузлах рассматриваемой шпинели  $\Delta_{ET} \approx 540$  см<sup>-1</sup>,  $\tau_E / \tau_T \approx 10^2$ ,  $\sigma_U \approx 2 \cdot 10^{-20}$  см<sup>-2</sup>, а с другой, например, — в октаузлах с инверсионной симметрией кристаллов александрита BeAl<sub>2</sub>O<sub>4</sub>:Cr [11] — 800 см<sup>-1</sup>,  $2 \cdot 10^2$  и  $7 \cdot 10^{-21}$  см<sup>-2</sup> соответственно. Таким образом, в CdIn<sub>2</sub>S<sub>4</sub>:Cr имеются условия для реализации оптического усиления на переходах  $^4T_{2g} \rightarrow ^2A_{2g}$ .

Ожидаемый диапазон перестройки частоты генерации определяется шириной  $U$ -полосы люминесценции (790—950 нм).

### Список литературы

- [1] Gzaja W. // Phys. Kondens. Materie. 1970. V. 10. P. 299—312.
- [2] Hennig J. C. M., Bongers P. F., Van Den Boom H., Voermans A. B. // Phys. Lett. A. 1969. V. 30 N 5. P. 307—308.
- [3] Wittekoek S., Bongers P. F. // Solid State Comm. 1969. V. 7. N 23. P. 1719—1722.
- [4] Ueno M. // J. Phys. Soc. Jap. 1979. V. 46. N 16. P. 1877—1881.
- [5] Sato K., Yokoyama Y., Tsuchima T. // J. Phys. Soc. Jap. 1977. V. 42. N 2. P. 559—563.
- [6] Graber N., Orfino F., Schmedfeger C. F. // Solid State Comm. 1980. V. 36. N 5. P. 407—410.
- [7] Kisliuk P., Moore C. A. // Phys. Rev. 1967. V. 160. N 2. P. 307—312.
- [8] Fonger W. N., Struck C. W. // Phys. Rev. B. 1975. V. 11. N 9. P. 3251—3260.
- [9] Перлин Ю. Е., Цукерблат Б. С. Эффекты электрон-колебательного взаимодействия в оптических спектрах примесных парамагнитных ионов. Кишинев: Штиница, 1974. 368 с.
- [10] Walling J. C., Peterson O. G., Jensen H. P., Morris R. C., Wayne O'dell E. // IEEE J. Quant. Electron. 1980. V. QE-16. N 12. P. 1302—1315.
- [11] Powell R. C., Xi Lin, Gang Xi, Quarles G. J., Walling J. C. // Phys. Rev. B. 1985. V. 32. N 5. P. 2788—2797.
- [12] Chatterjee, Kumar K., Forster Leslie S. // Spectrochimica Acta. 1964. V. 20. P. 1603—1609.
- [13] Struck C. W., Fonger W. H. // J. Luminescence. 1975. V. 10. N 1. P. 1—30.
- [14] Кристофель Н. Н. Теория примесных центров малых радиусов в ионных кристаллах. М.: Наука, 1974. 336 с.
- [15] Губанов В. А., Куликова О. В., Кулюк Л. Л., Радауцан С. И., Рацеев С., Саливон Г. И., Тезэлан В. Е., Цыдану В. И. // ФТГ. 1988. Т. 30. № 2. С. 457—461.
- [16] Larsen P. K., Wittekoek S. // Phys. Rev. Lett. 1972. V. 29. N 24. P. 1597—1599.
- [17] Schläfer H. L., Gausman H., Witzke H. // J. Chem. Phys. 1967. V. 46. P. 1423—1425.
- [18] Wojtowicz A. J., Lempicki A. // J. Luminescence. 1988. V. 39. N 4. P. 189—203.

- [19] Anneda A., Garbaio L., Rada F., Serpi A. // Phys. Stat. Sol. (a). 1978. V. 50. N 2. P. 643—650.
- [20] Черепанов В. И., Мень А. Н. // ФТТ. 1964. Т. 6. № 7. С. 1939—1945.
- [21] Dercosch J., Mikenda W. // J. Luminescence. 1983. V. 28. N 8. P. 431—441.
- [22] Mikenda W., Preisinger A. // J. Luminescence. 1980. V. 26. N 1—2. P. 53—83.
- [23] Kulikova O. V., Kylyuk L. L., Radautsan S. I., Ratseev S. A., Strumban E. E., Tezlevan V. E., Tsitsanu V. I. // Phys. St. Sol. (a). 1988. V. 107. N 2. P. 373—377.
- [24] Nie W., Michel-Kalendini F. M., Linares, Boulon G., Daul C. // J. Luminescence. 1990. V. 46. N 3. P. 177—191.
- [25] Вонсовский С. В., Грум-Гржимайло С. В., Черепанов В. М., Мень А. Н., Свиридов Д. Т., Смирнов Ю. Ф., Никифоров А. Е. Теория кристаллического поля и оптические спектры примесных ионов с незаполненной 3d-оболочкой. М.: Наука, 1969. 179 с.
- [26] Mc Cumber D. E. // Phys. Rev. 1964. V. 137. N 2. P. A299—A306.
- [27] Caird J. A., Phayne S. A., Staver P. R., Ramponi A. J., Chase L. L., Krapke W. F. // IEEE J. Quantum Electron. 1988. V. QE-24. N 6. P. 1077—1099.

Институт прикладной физики

АН Молдовы  
Кишинев

Поступило в Редакцию

2 августа 1991 г.

В окончательной редакции  
11 февраля 1992 г.

---